



10-39/AD-CO/151: Niveles lantejonares de calizas y calcoesquis-
tos ferruginosos de la Formación Manganésife-
ra en la Ctra. de Valverde - Sotiel. Dimensio-
nes 3 cm de ancho x 20 cm de largo.



10-39/AD-CO/152: Detalle de una estructura almohadillada ("pillow lava") de 70 x 80 cm en el volcanismo bá-
sico. Tomada en el Cabezo del Molino a las -
afueras de Valverde del Camino.



10-39/AD-CO/153: Vista de Valverde del Camino desde la Ermita del Santo.



10-39/AD-CO/154: Pliegue sinclinal decimétrico volcado al sur en niveles cuarcíticos de 7 cm de potencia de la Formación Manzanito. Carretera Valverde-Zalamea.



10-39/AD-CO/155 : Pliegue volcado al sur en las cuarcitas de la Formación Manzanito. Tomada cerca de la Mina La Ratera.



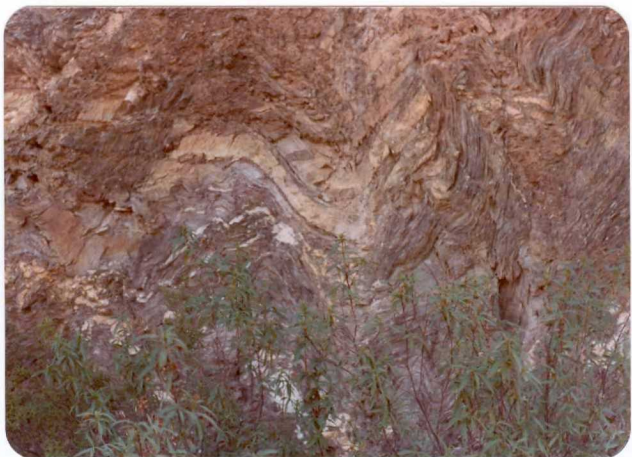
10-39/AD-CO/156 : Pequeña cantera hecha en las Arenas de Los Pi
nos.



10-39/AD-CO/157: Mina de Campanario. Detalle de la Corta que posee 250 m de longitud y 50 m de anchura. Roca encajante tobas ácidas esquistosas.



10-39/AD-CO/158: Mina del Castillo Buitrón. Detalle de la Corta y del Pozo de extracción de la masa Poniente . Roca encajante tobas ácidas esquistas.



10-39/AD-DN/461: Pliques tipo "chevron", originados en la 2a fase de plegamiento. Serie de pizarras y grauwacas de la Formación Manzanito ($D_3 - H_{11-12}^{A-A}$)



10-39/AD-DN/462: Esquistosidad de 2a fase (S_2) buzando hacia el Sur (derecha de la fotografía) en pizarras de la Formación Manzanito ($D_3 - H_{11-12}^{A-A}$).



10-39/AD-DN/463: Panorámica de "Castillo Buitrón". Mina inactiva de sulfuros complejos.



10-39/AD-DN/464: Pliegue de 1ª fase en materiales sedimentarios
(pizarras y cuarcitas) del vulcanismo inicial
A-A
(H V1).



10-39/AD-DN/465: Aspecto de las lavas básicas (H VB)
A-A
11-12



10-39/AD-DN/466: Intercalaciones pizarrosas (Ps.) dentro del
volcanismo básico (H^{A-A}VB).
11-12



10-39/AD-DN/467: Tobas de la "Formación Manganesífera (HT-P)
A-A
11-12

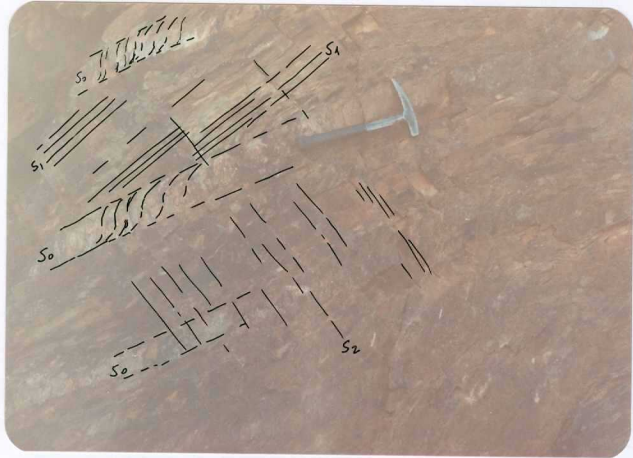


A-A

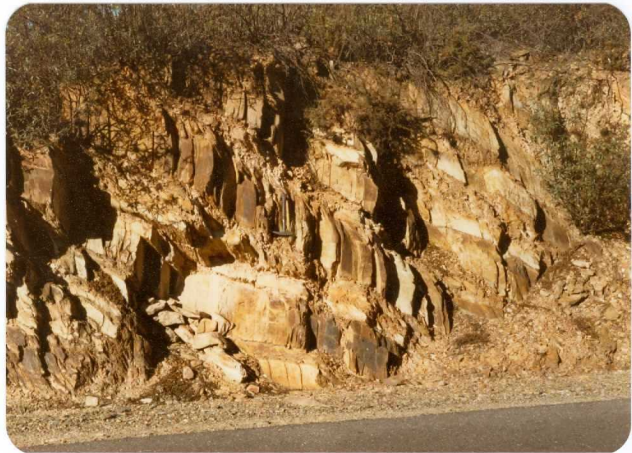
10-39/AD-DN/468: Pizarras de la Formación Manganesífera (HT-P)
Flanco invertido del sinclinal con núcleo 11-12
de Viseiense sup. del NO de la hoja.



10-39/AD-DN/469: Aspecto de las "Tobas verde-violetas" (Tvv)



10-39/AD-DN/470: Estratificación (S_0) y esquistosidades de 1ª (S_1) y 2ª fase (S_2) en la serie pizarroso-grauvâquica de la Formación Manzanito ($D_3 - H_{11-12}^{A-A}$)



10-39/AD-DN/471: Refracción de la esquistosidad principal (S_1) al llegar a niveles más competentes de grauwacas. Pizarras y grauwacas de la F. Manzanito
(D3 - H^{A-A}₁₁₋₁₂)



10-39/AD-DN/472: Bancos de grauvacas de hasta 1'50 m de potencia en la F. Manzanito (D₃ - H₁₁₋₁₂^{A-A})



10-39/AD-DN/473: Bandeado original (S_0) y esquistosidad principal (S_1) en niveles de tobas^{A-A} fina y cineritas de la F. Manganesífera (HT-P)
11-12



10-39/AD-DN/474: Lentejón de jaspe rojo (J) de la F. Manganesí
fera ^{A-A} (HT-P)
11-12



10-39/AD-DN/475: Nivel de "Pizarras moradas" (H Pm)
A-A
11-12



10-39/AD-DN/476: Aspecto típico de las pizarras de la F. Manga
A-A
nesífera (H T-P).



10-39/AD-DN/477: Mina de Oriente. Explotación inactiva de Mn en los jaspes (J) de la F. Manganesífera.



10-39/AD-DN/478: Aspecto de los aglomerados del volcanismo inicial (H V1)
A-A
11-12